

Санкт-Петербургский национальный исследовательский университет ИТМО
Факультет систем управления и робототехники

Лабораторная работа №4
«Астатизмы»
по дисциплине «Теория автоматического управления»
Вариант: 16

Подготовил: Дюжев Владислав Дмитриевич
Группа: R33353
Преподаватель: Пашенко А. В.

Санкт-Петербург 2023 г.

Предисловие

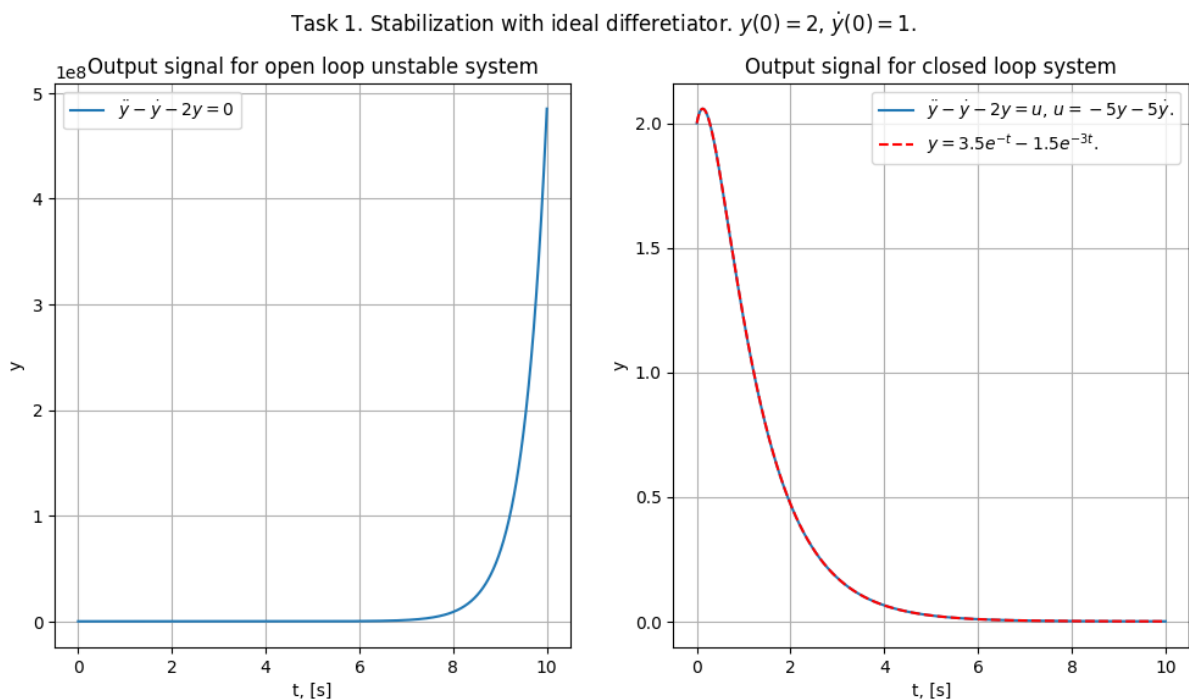
При выполнении лабораторной работы была использована библиотека Python control library. Полный листинг расчетной программы приведен в [репозитории](#) GitHub.

Задание 1. Задача стабилизации с идеальным дифференцирующим звеном.

Рассмотрим систему: $\ddot{y} - \dot{y} - 2y = u$. Полюса данной системы: -1 и 2 (устойчивый и неустойчивый).

Замкнем систему регулятором вида: $u = k_0 y + k_1 \dot{y}$. Для стабилизации системы выберем $k_0 = -5$, $k_1 = -5$. Теперь оба полюса (-3 и -1) - устойчивые.

Выполним моделирование поведения открытой системы и замкнутой регулятором при ненулевых начальных условиях ($y(0) = 2$, $\dot{y}(0) = 1$), используя идеальное дифференцирующее звено:



Как видим, систему удалось стабилизировать. Результат моделирования совпал с аналитическим решением

дифференциального уравнения, задающего замкнутую систему:

$$y(t) = 3.5e^{-t} - 1.5e^{-3t}.$$

Задание 2. Задача стабилизации с реальным дифференцирующим звеном.

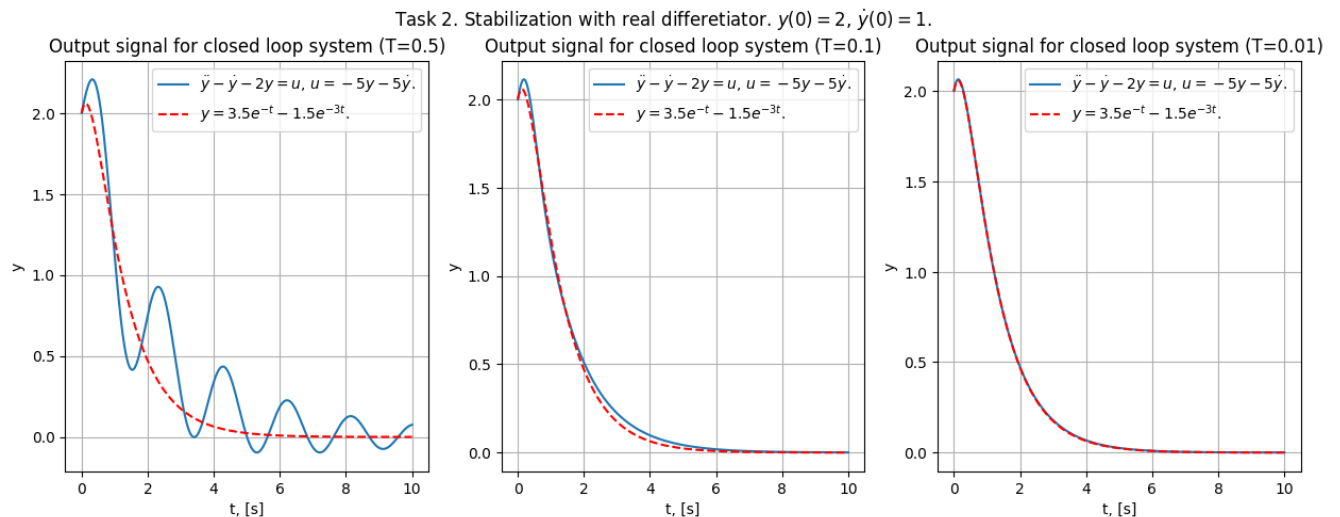
Запишем передаточную функцию системы: $W_{sys} = \frac{1}{s^2 - s - 2}$.

Регулятора: $W_{reg} = -5 \frac{s}{Ts + 1} - 5$. С учетом обратной связи, общая функция:

$$W = \frac{W_{sys} W_{reg}}{1 - W_{sys} W_{reg}} = \frac{s(-5-5T)-5}{Ts^3 + s^2(1-T) + s(4+3T) + 3} = \frac{\frac{1}{T}(s(-5-5T)-5)}{s^3 + s^2 \frac{1-T}{T} + s \frac{4+3T}{T} + \frac{3}{T}}$$

По критерию Гурвица получим условия для устойчивости системы: $T > 0$, $T < 1$, $3T^2 + 4T - 4 < 0$. Решив неравенства, получаем: $0 < T < \frac{2}{3}$.

Проведем моделирование систем при разных значениях T , соответствующих устойчивым системам:

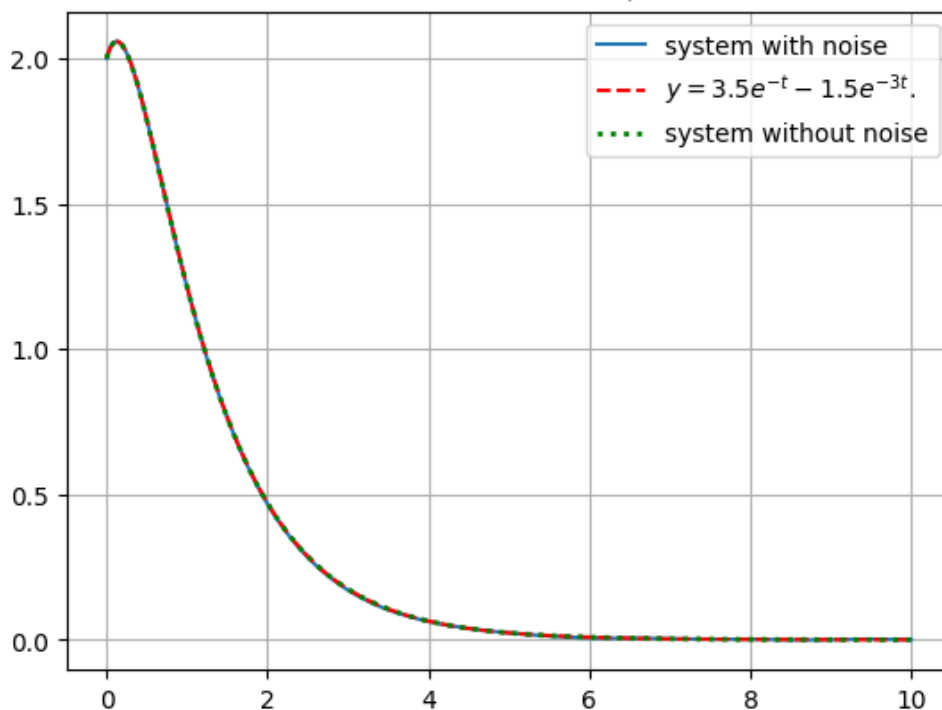


Можем заметить, что система становится ближе к реальным результатам с уменьшением параметра T .

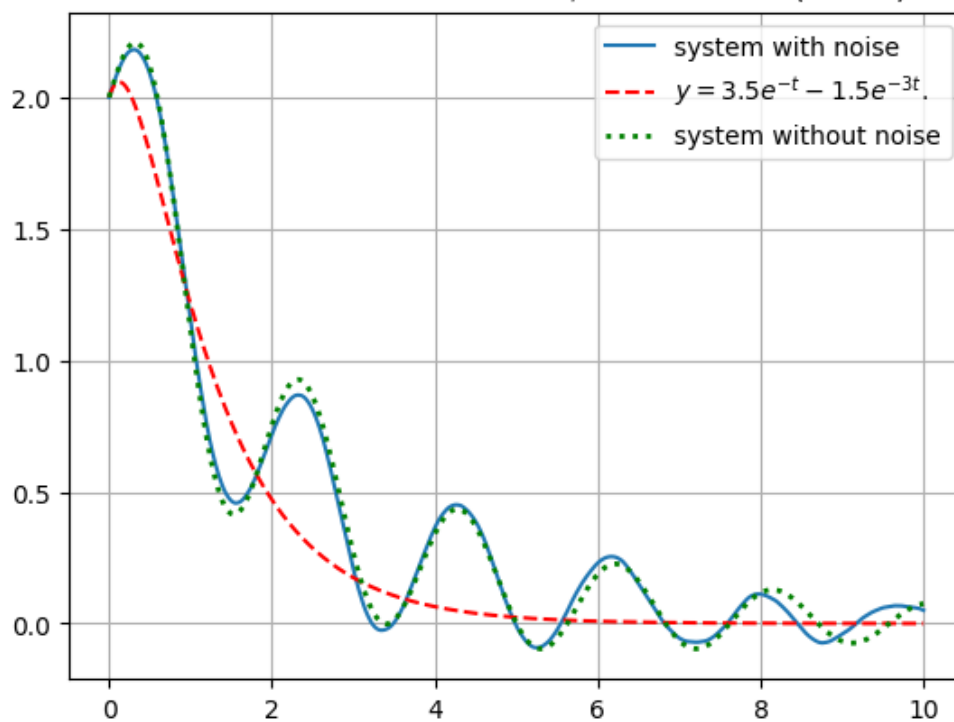
Задание 3. Исследование влияния шума.

Проведем моделирование систем из прошлых заданий с добавлением шума на вход регулятора:

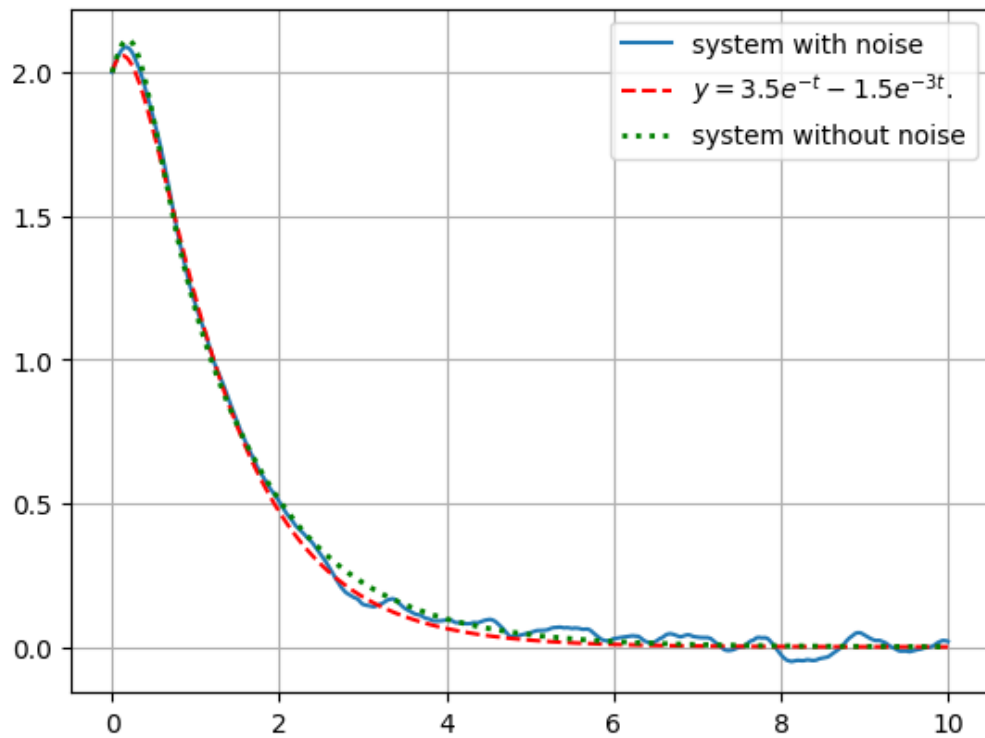
Task 3. Ideal differentiator with/without noise.



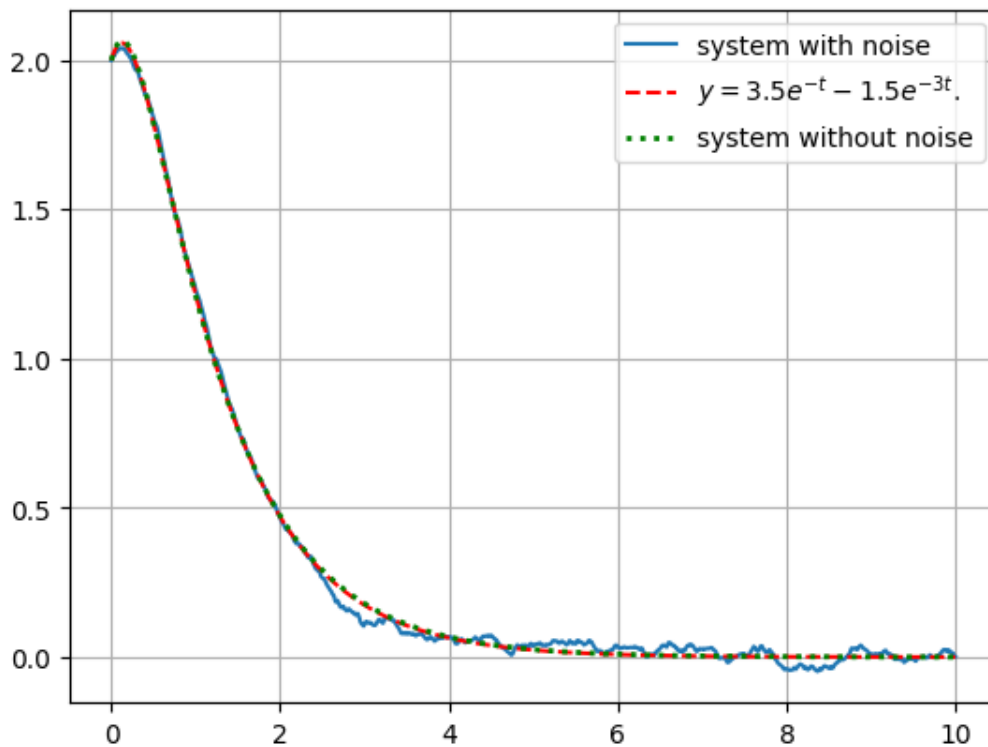
Task 3. Real differentiator with/without noise (T=0.5).



Task 3. Real differentiator with/without noise (T=0.1).



Task 3. Real differentiator with/without noise (T=0.01).

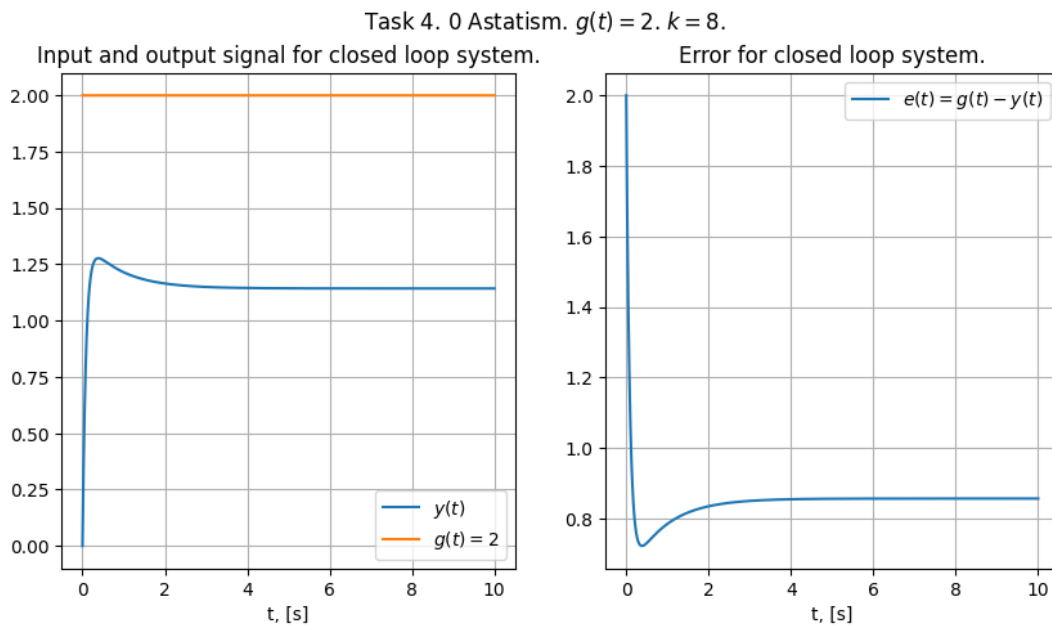


Заметим, что с уменьшением параметра T влияние шума на систему увеличивается (выход становится более прерывистым).

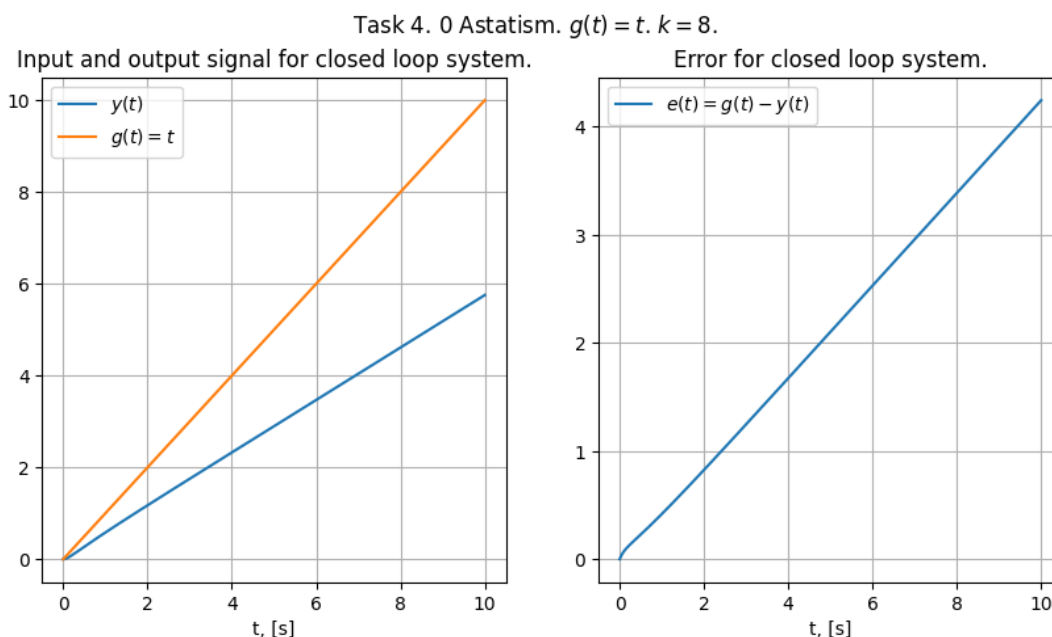
Задание 4. Задача слежения для системы с астатизмом нулевого порядка.

Рассмотрим устойчивую систему вида: $W_{sys} = \frac{s+1}{s^2+5s+6}$.

Проведем моделирование данной системы, замкнутой пропорциональным регулятором при разных значениях k и для различных управляющих воздействий:

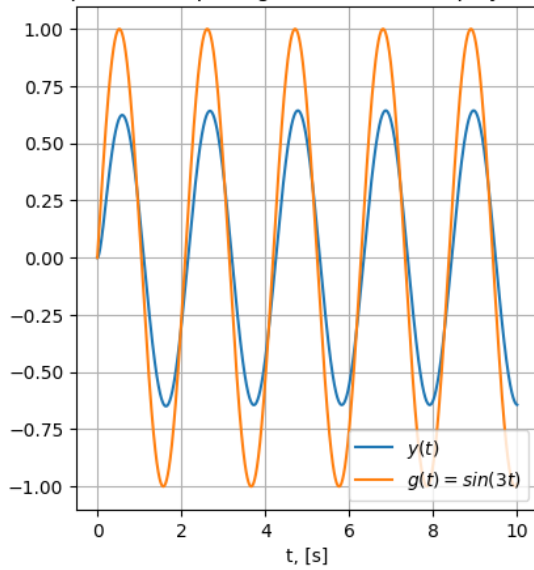


Установившаяся ошибка: $\varepsilon_{уст} = 0.857$.

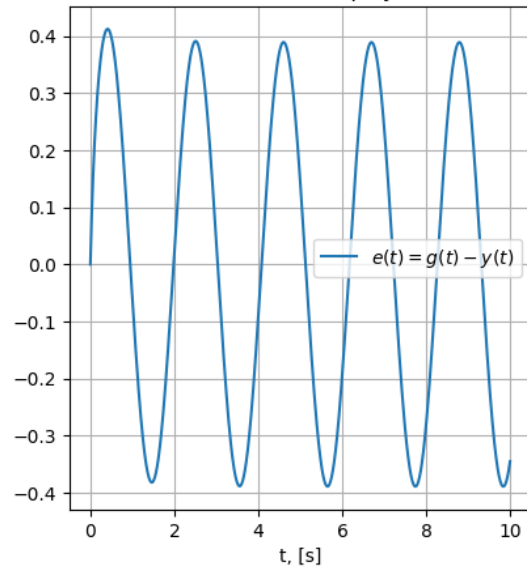


Task 4. 0 Astatism. $g(t) = \sin(3t)$. $k = 8$.

Input and output signal for closed loop system.

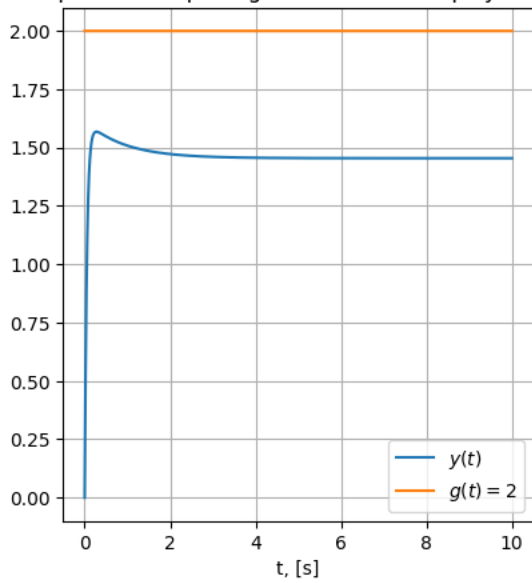


Error for closed loop system.

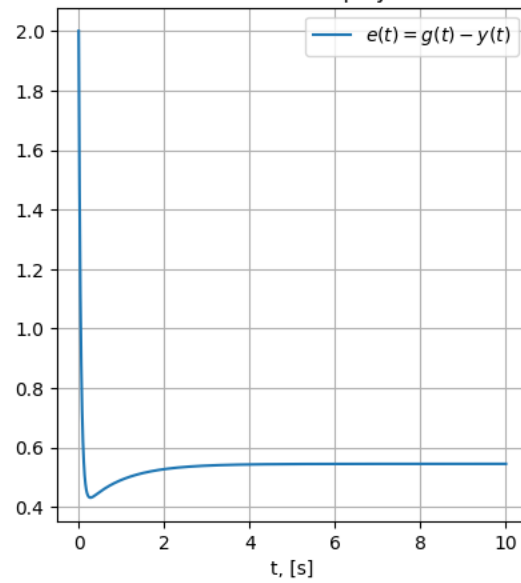


Task 4. 0 Astatism. $g(t) = 2$. $k = 16$.

Input and output signal for closed loop system.



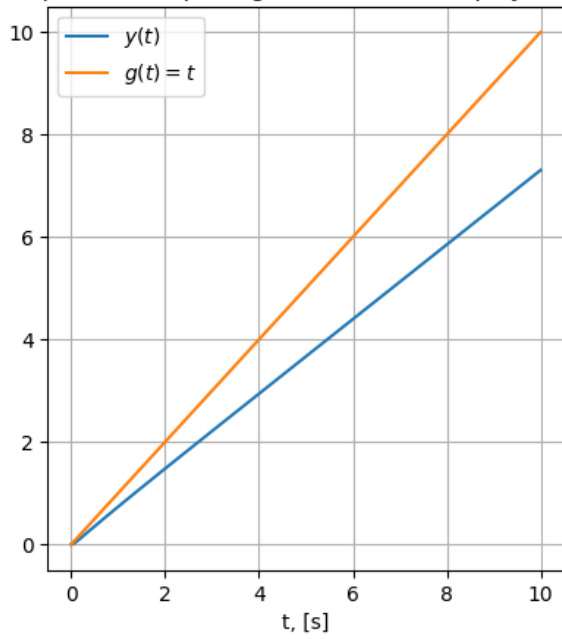
Error for closed loop system.



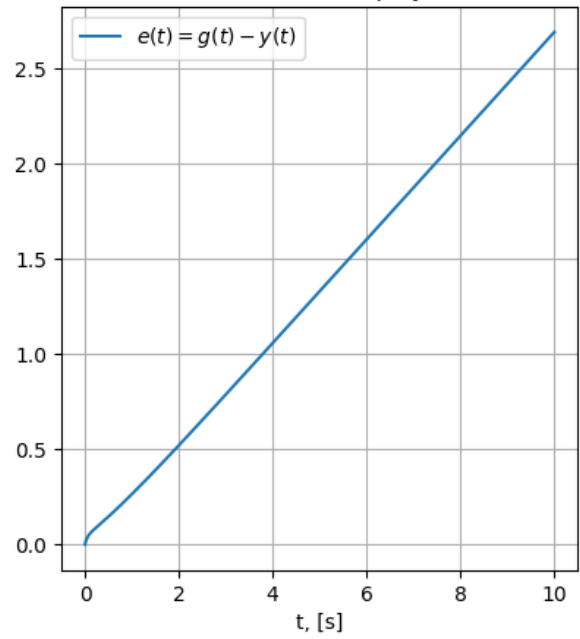
Установившаяся ошибка: $\varepsilon_{\text{уст}} = 0.545$.

Task 4. 0 Astatism. $g(t) = t$. $k = 16$.

Input and output signal for closed loop system.

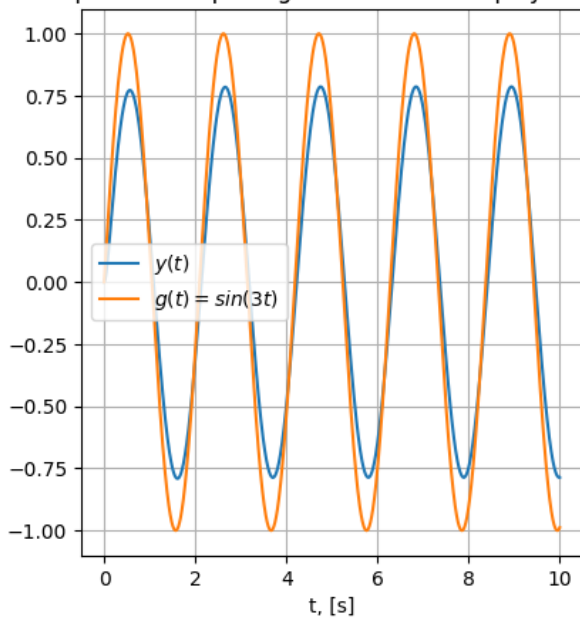


Error for closed loop system.

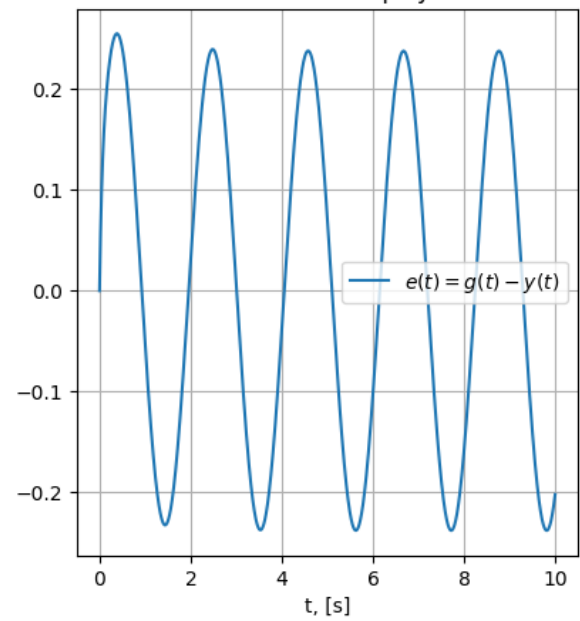


Task 4. 0 Astatism. $g(t) = \sin(3t)$. $k = 16$.

Input and output signal for closed loop system.

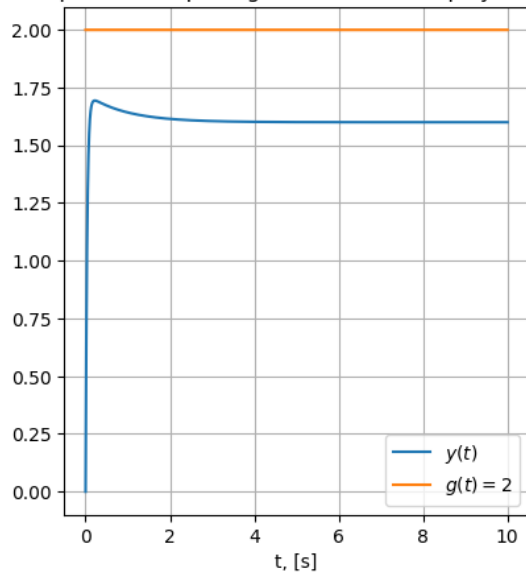


Error for closed loop system.

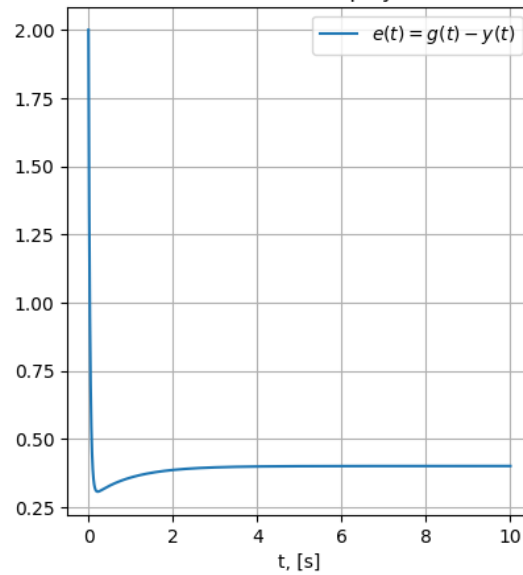


Task 4. 0 Astatism. $g(t) = 2$. $k = 24$.

Input and output signal for closed loop system.



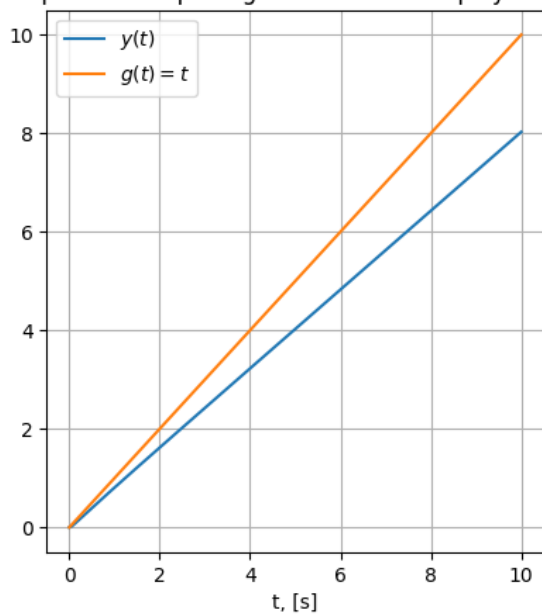
Error for closed loop system.



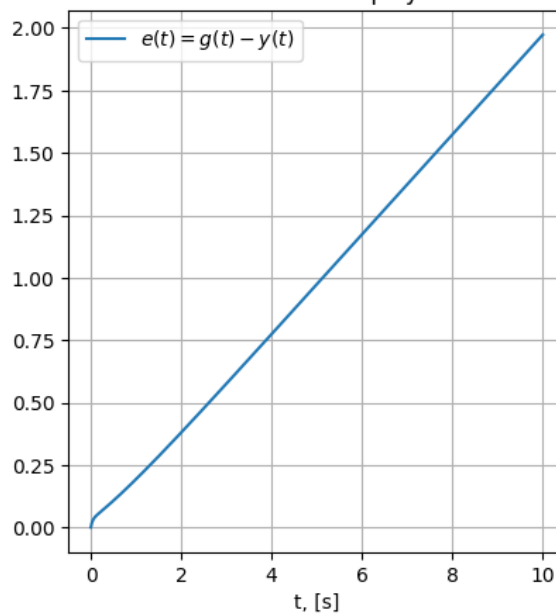
Установившаяся ошибка: $\varepsilon_{уст} = 0.399$.

Task 4. 0 Astatism. $g(t) = t$. $k = 24$.

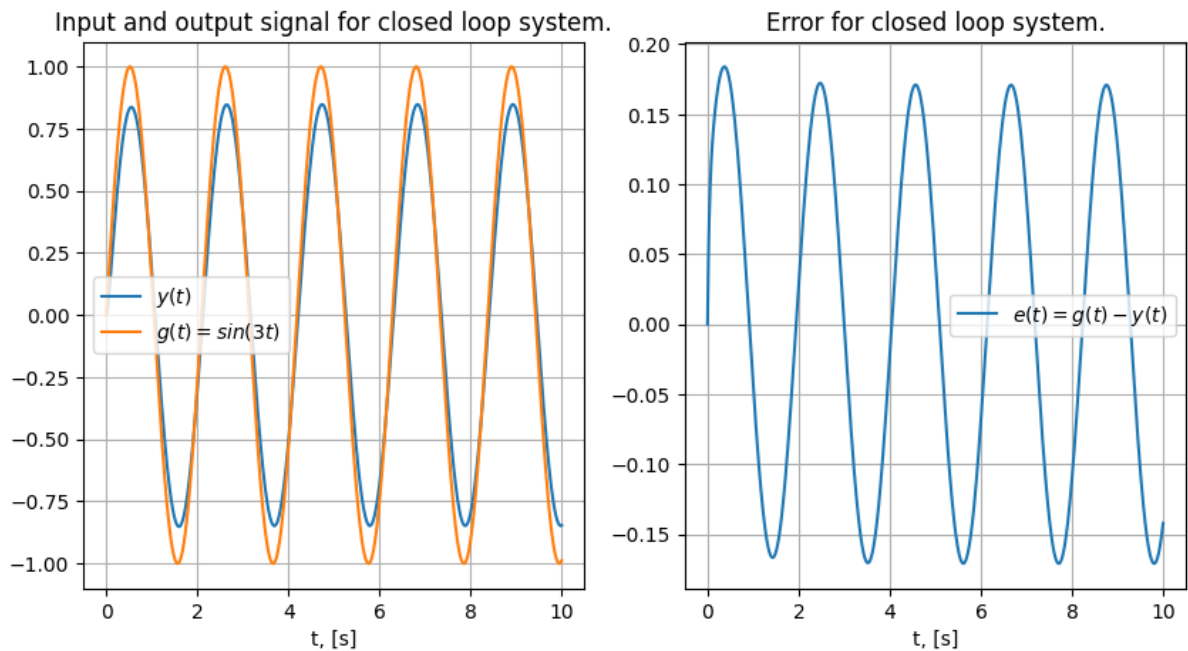
Input and output signal for closed loop system.



Error for closed loop system.



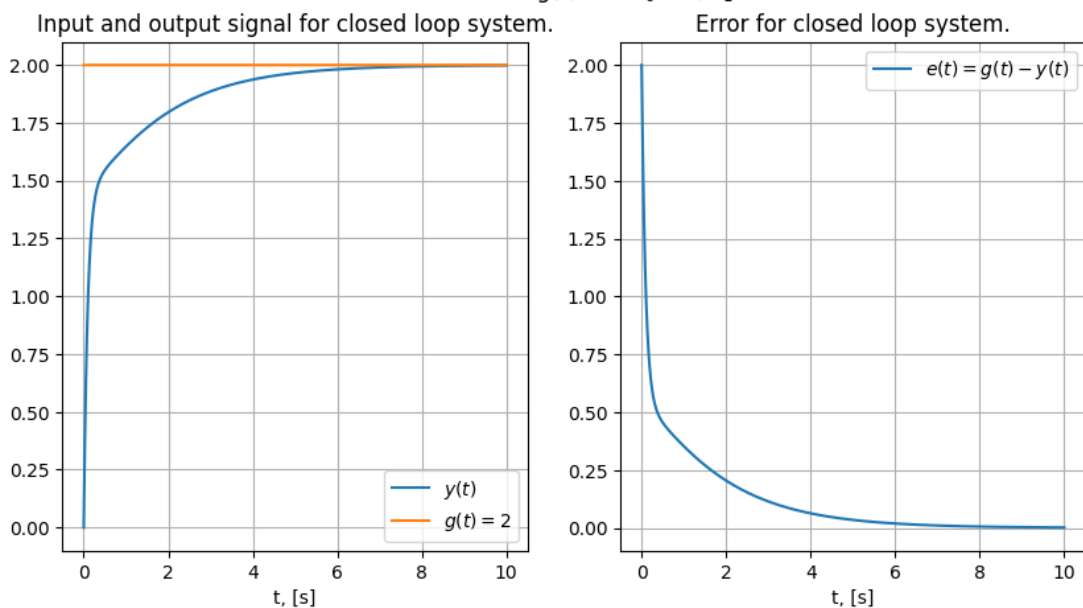
Task 4. 0 Astatism. $g(t) = \sin(3t)$. $k = 24$.



Можно заметить, что с увеличением пропорционального коэффициента, ошибка при моделировании уменьшается (однако линейной зависимости нет).^[OBJ]

Задание 5. Задача слежения для системы с астатизмом первого порядка.

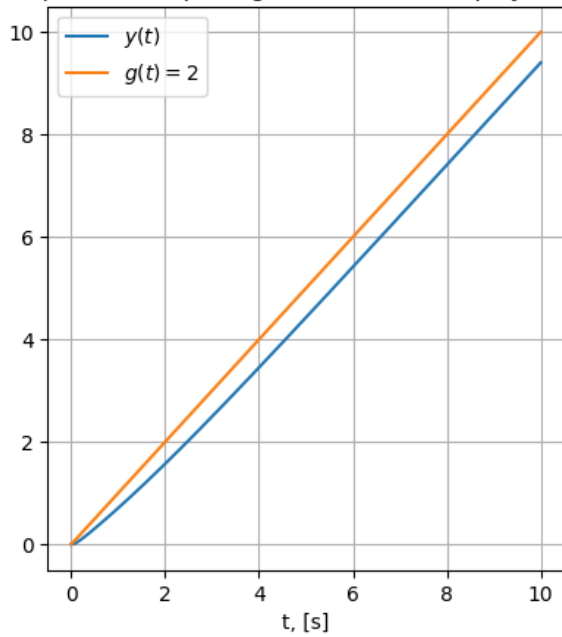
Task 5. 1 Astatism. $g(t) = 2$. $k_0 = 8$, $k_1 = 10$.



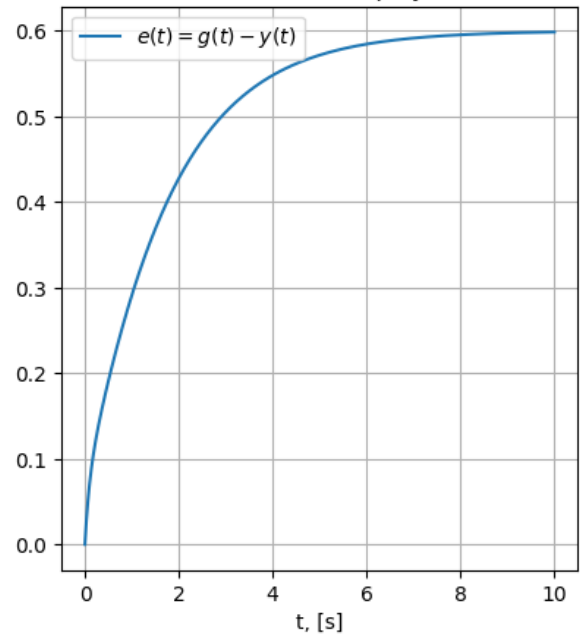
Установившаяся ошибка: $\varepsilon_{\text{уст}} = 0.002$.

Task 5. 1 Astatism. $g(t) = t$. $k_0 = 8$, $k_1 = 10$.

Input and output signal for closed loop system.



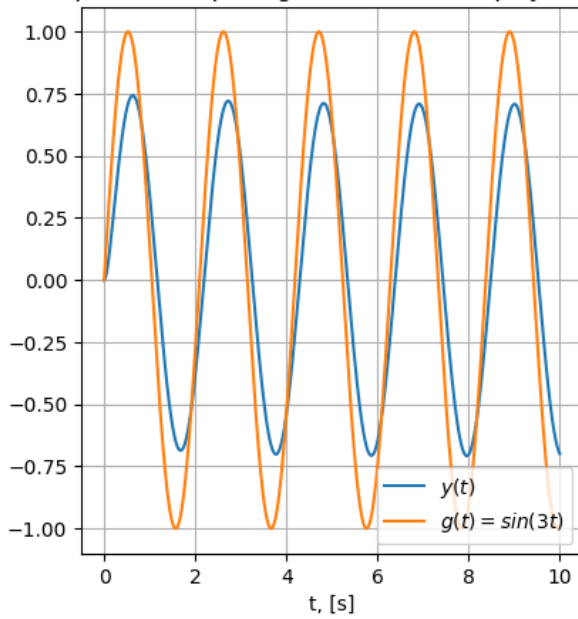
Error for closed loop system.



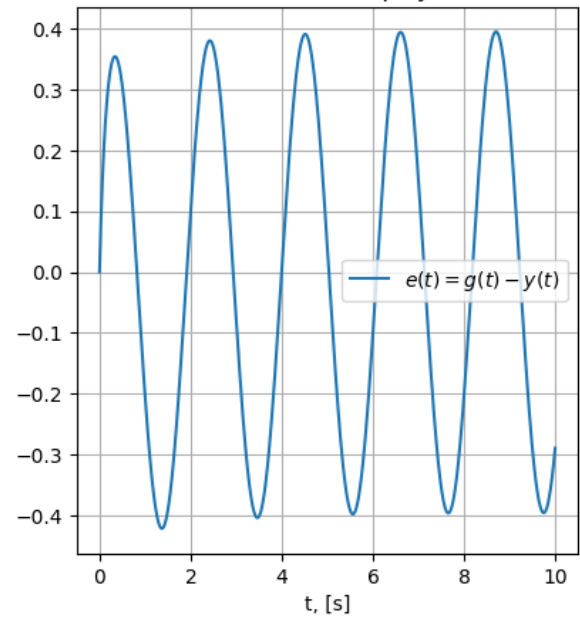
Установившаяся ошибка: $\varepsilon_{\text{уст}} = 0.599$.

Task 5. 1 Astatism. $g(t) = \sin(3t)$. $k_0 = 8$, $k_1 = 10$.

Input and output signal for closed loop system.

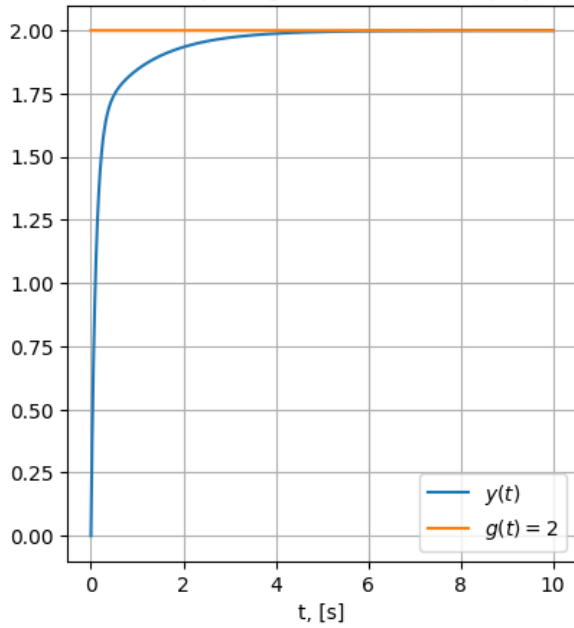


Error for closed loop system.

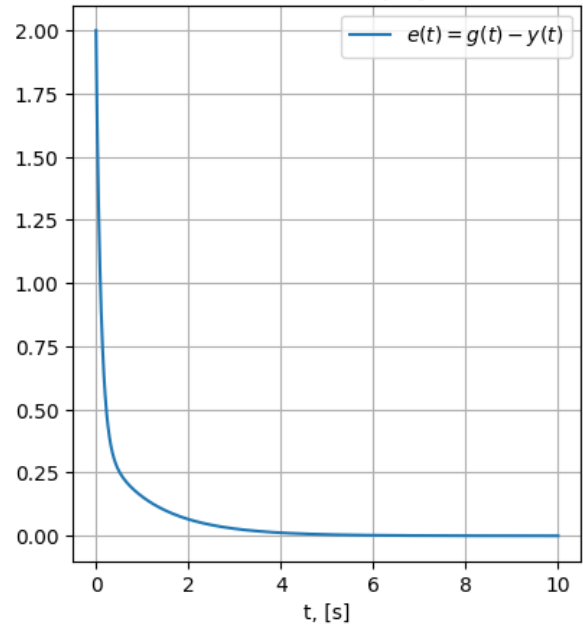


Task 5. 1 Astatism. $g(t) = 2$. $k_0 = 8$, $k_1 = 20$.

Input and output signal for closed loop system.



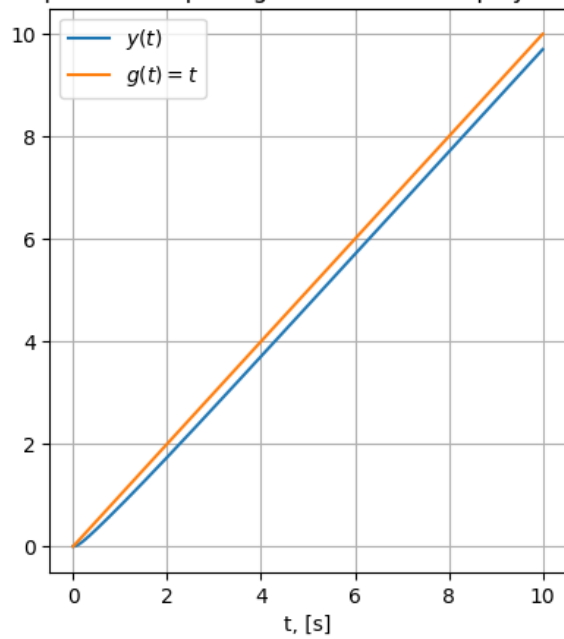
Error for closed loop system.



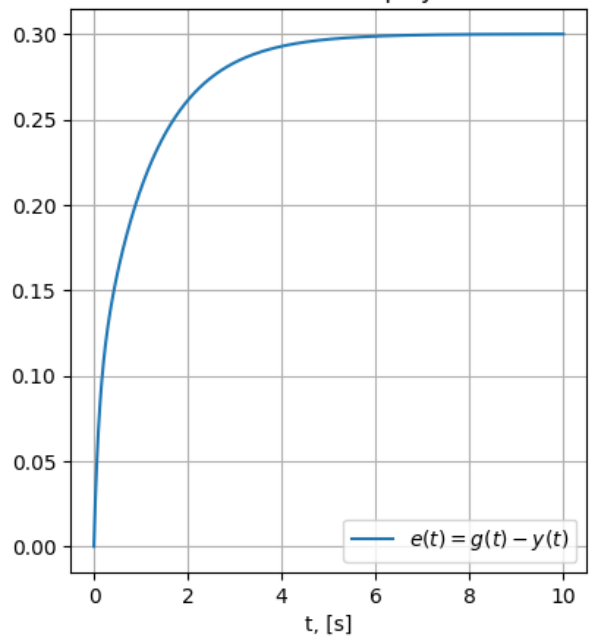
Установившаяся ошибка: $\varepsilon_{\text{уст}} = 0$.

Task 5. 1 Astatism. $g(t) = t$. $k_0 = 8$, $k_1 = 20$.

Input and output signal for closed loop system.



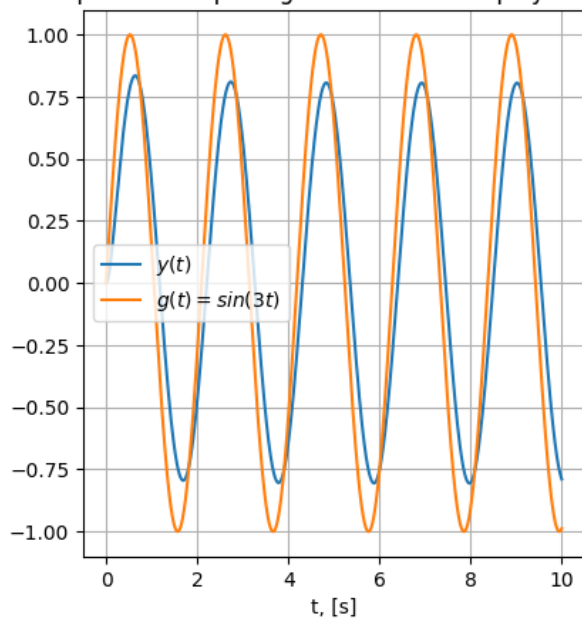
Error for closed loop system.



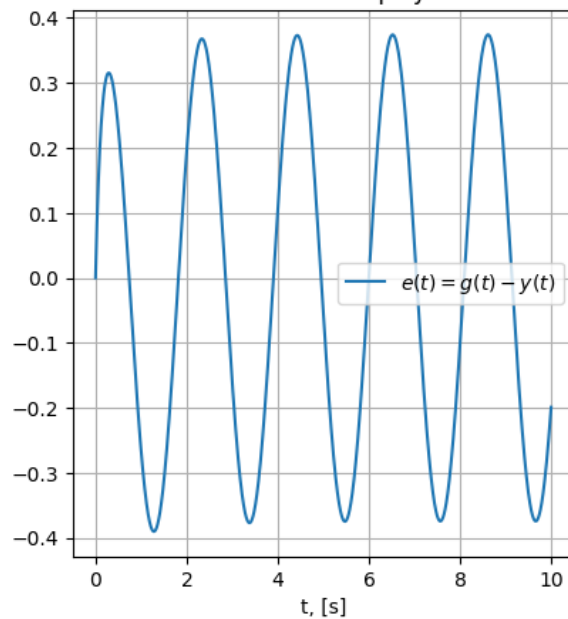
Установившаяся ошибка: $\varepsilon_{\text{уст}} = 0.299$.

Task 5. 1 Astatism. $g(t) = \sin(3t)$. $k_0 = 8$, $k_1 = 20$.

Input and output signal for closed loop system.

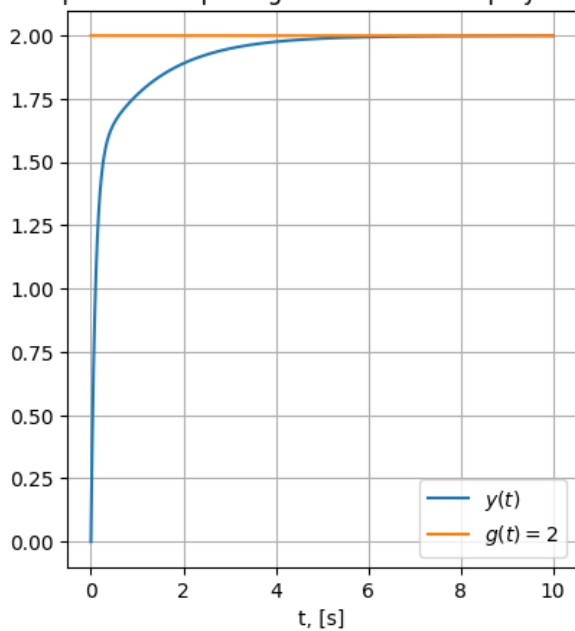


Error for closed loop system.

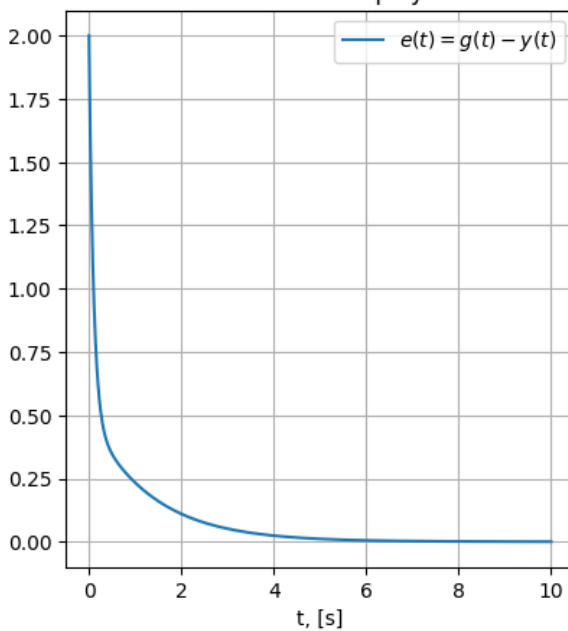


Task 5. 1 Astatism. $g(t) = 2$. $k_0 = 8$, $k_1 = 15$.

Input and output signal for closed loop system.



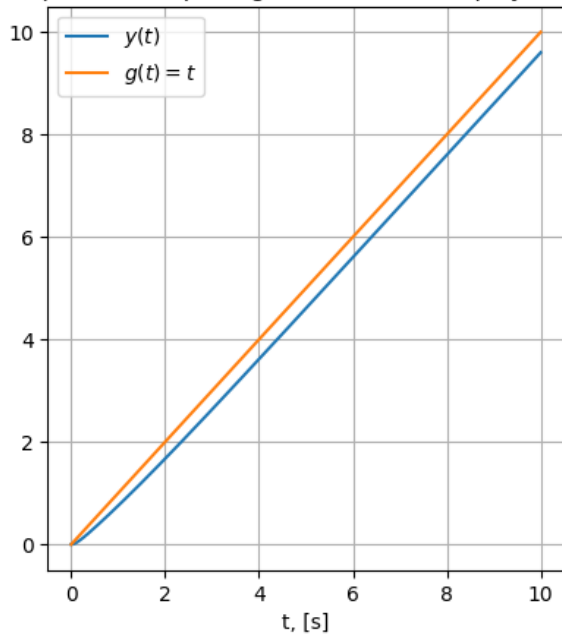
Error for closed loop system.



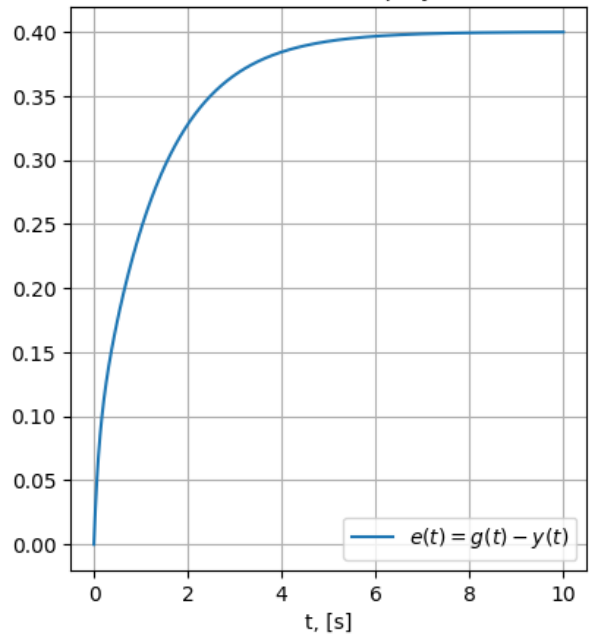
Установившаяся ошибка: $\varepsilon_{\text{уст}} = 0.001$.

Task 5. 1 Astatism. $g(t) = t$. $k_0 = 8$, $k_1 = 15$.

Input and output signal for closed loop system.



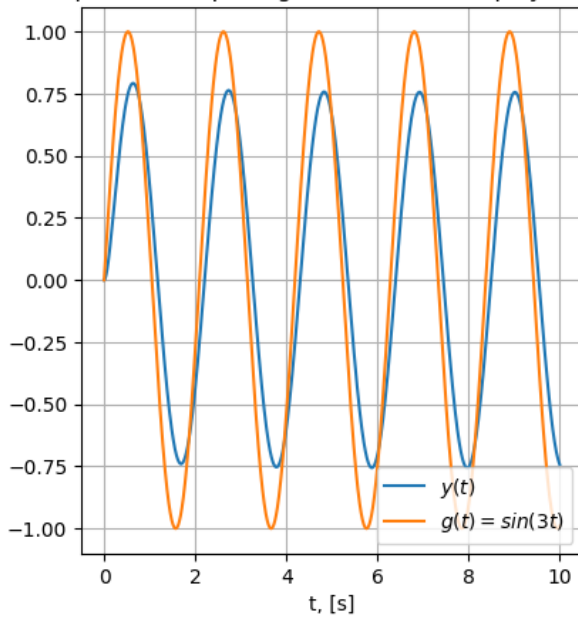
Error for closed loop system.



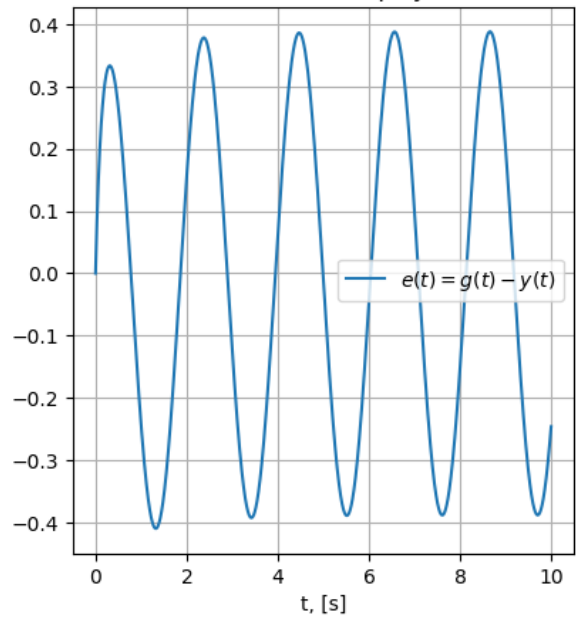
Установившаяся ошибка: $\varepsilon_{уст} = 0.399$.

Task 5. 1 Astatism. $g(t) = \sin(3t)$. $k_0 = 8$, $k_1 = 15$.

Input and output signal for closed loop system.



Error for closed loop system.



Заметим, что с увеличением интегрального коэффициента ошибка падает.

Задание 6. Исследование линейной системы замкнутой регулятором общего вида.

Рассмотрим систему вида: $\ddot{y} = u$. Выберем задающее воздействие $g(t) = \alpha \sin(\omega_1 t) \cos(\omega_2 t)$.

$$g(t) = \alpha \sin(\omega_1 t) \cos(\omega_2 t) = \frac{\alpha}{2} (\sin(\omega_1 t + \omega_2 t) + \sin(\omega_1 t - \omega_2 t))$$

Тогда, образ Лапласа задающего воздействия:

$$G(s) = \frac{\alpha}{2} \left(\frac{\sigma_1}{s^2 + \sigma_1^2} + \frac{\sigma_2}{s^2 + \sigma_2^2} \right) = \frac{\frac{\alpha}{2}(\sigma_1 + \sigma_2)(s^2 + \sigma_1 \sigma_2)}{(s^2 + \sigma_1^2)(s^2 + \sigma_2^2)} = \frac{N_g}{D_g}, \text{ где}$$

$$\sigma_1 = \omega_1 + \omega_2 \text{ и } \sigma_2 = \omega_1 - \omega_2.$$

$$W_{sys}(s) = \frac{N_{sys}}{D_{sys}} = \frac{1}{s^2}, W_{reg}(s) = \frac{N_{reg}}{D_{reg}}.$$

Рассмотрим образ Лапласа ошибки:

$$E(s) = \frac{D_{reg} D_{sys}}{D_{reg} D_{sys} + N_{reg} N_{sys}} \frac{N_g}{D_g}. \text{ Согласно принципу внутренней}$$

модели, выберем $D_{reg} = D_g(s + b_0)$,

$$N_{reg} = s^2(a_3 s^3 + a_2 s^2 + a_1 s + a_0).$$

Тогда:

$$E(s) = \frac{(s+b_0)N_g}{s^5 + b_0 s^4 + s^3(\sigma_2^2 + \sigma_1^2 + a_3) + s^2(b_0(\sigma_2^2 + \sigma_1^2) + a_2) + s(\sigma_1^2 \sigma_2^2 + a_1) + b_0 \sigma_1^2 \sigma_2^2 + a_0} = \frac{N_E}{D_E}$$

Пусть $D_E = (s - 1)(s - 2)(s - 3)(s - 4)(s - 5)$, тогда

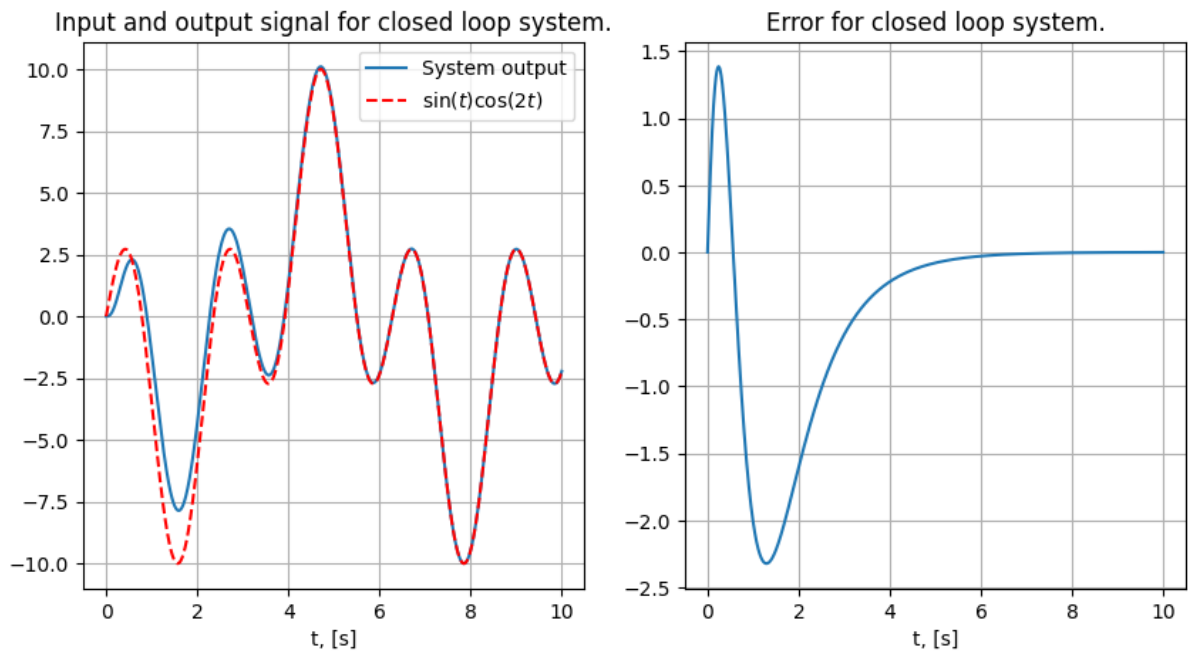
$$b_0 = 15, a_3 = 85 - \sigma_1^2 - \sigma_2^2, a_2 = 225 - 15(\sigma_1^2 + \sigma_2^2),$$

$$a_1 = 274 - \sigma_1^2 \sigma_2^2, a_0 = 120 - 15\sigma_1^2 \sigma_2^2.$$

Регулятор пятой степени необходим для настройки всех коэффициентов в знаменателе образа Лапласа ошибки для получения необходимых полюсов.

Выберем $\omega_1 = 1, \omega_2 = 2$. Проведем моделирование переходного процесса системы, замкнутой полученным регулятором.

Task 6. Extended regulator.



Выводы

1. Анализируя работу реального и идеального дифференциальных звеньев, можно заметить, что приближение тем лучше, чем меньше параметр T . Кроме того, реальное звено более чувствительно к шумам.
2. Рассмотрев системы с астатизмами 0 и 1 порядка, можно заметить, что в первом случае возможно свести установившуюся ошибку при постоянном задающем воздействии к постоянному значению, во втором случае тоже самое верно для линейного задающего воздействия. Это подтверждает и теория.
3. Удалось синтезировать регулятор общего вида для стабилизации заданной системы с задающим воздействием.